

VISP – Seismic cone penetration test (SCPT)

Author: Paolo Bergamo

Date:01.03.2020

The cone penetration test (CPT) carried out in Visp, site 1 (see attached report Geoprofile 2018) was accompanied by an invasive seismic survey (SCPT, Robertson et al., 1986) with the purpose of estimating the surficial V_s profile. Both surveys were carried out on 14.08.2018 by Geoprofile GmbH (see full report Geoprofile 2018).

Data acquisition

The drilling equipment was the same used for CPT; however, in this case the CPT cone was replaced by a cone equipped with a triaxial geophone. The geophone was successively lowered in the ground by steps of 1 m, from 1 to 23 m depth. At each deployment, a controlled seismic source signal was generated at the soil surface, in proximity to the CPT borehole. The source consisted of a metal shear beam coupled to the ground with spikes, hit with a sledgehammer on one of its end (so that the excitation is parallel to one of the horizontal components of the geophone, labelled Y in this case). The trace relevant to 2 m depth was not acquired. The chosen sampling interval was $3.32 \cdot 10^{-5}$ s, the window length 0.47 s.

Figure 1(left) shows the seismogram acquired by the geophone component oriented parallel to direction of the sledgehammer blow (labelled Y), hence the component more suitable for recording the generated SH-wave. The SH-wave first break arrivals are quite clear, and it is possible to distinguish also the P-wave arrivals, at least for the shallowest depths. In Figure 1, right panel, the normalized amplitude spectrum of the acquired traces is represented.

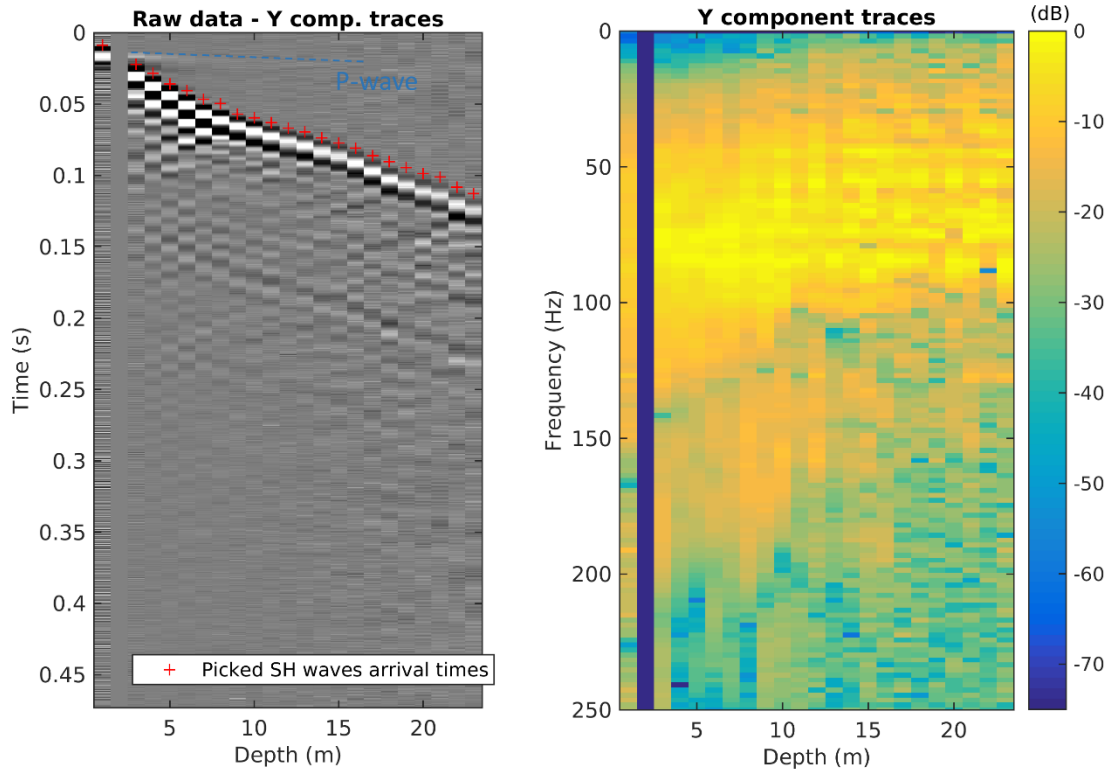


Figure 1 – Data acquisition. Left: seismogram composed by the raw traces as acquired by the geophones' horizontal component parallel to the direction of hammer blow. Picked SH-wave first break arrivals are marked by red arrows; P-wave arrivals are highlighted by the blue dashed line. Right: normalized amplitude spectra of the traces displayed in the left panel.

Processing

Considering the clarity of SH-wave arrivals, no pre-processing operation (e.g. filtering) was carried out. Hence, first break arrival times were hand-picked on the raw traces section (Figure 1, left panel, red crosses). As shown by the amplitude spectra (right panel), the generated seismic signal is characterized by an energy content mostly bounded in the 50 -100 Hz frequency band.

Inversion

The picked SH-wave arrival hodochrone was inverted for the V_s profile of the investigated subsurface.

Picked arrivals were inverted for the 1D V_s profile of the subsurface, modelled as a stack of 23 homogeneous layers, each 1 m thick. The inversion approach is a damped least-squares, including

(vertical) spatial regularization (Tarantola, 2005). The vector of the 23 unknown S-wave slownesses \hat{s} is obtained solving the damped least-squares equation

$$\hat{s} = [G^T G + k^2 D^T D]^{-1} G^T t_{obs} \quad (6)$$

where G is the matrix of the seismic raypaths relating observed travel-times t_{obs} to slownesses, k^2 is the damping parameter (defined as $= 1$), and D is the smoothing matrix constraining each slowness s_i to its upper (s_{i-1}) and lower (s_{i+1}) neighbour. The obtained vector of slowness estimates \hat{s} minimizes the distance between modeled and observed travel-times, and at the same time the difference among neighboring slownesses. To take into account the fact that the seismic raypaths are not straight lines but deviate according to Snell's law (the source-borehole offset is nonzero), equation 6 is iteratively solved. In the first attempt, matrix G is built assuming straight raypaths; then it is gradually corrected using the vector of slownesses obtained from the previous iteration, until the estimated \hat{s} are stable.

Figure 2, left panel, shows the obtained velocity profile, and the difference between modelled and observed travel-times (right panel). For verification, we also derived a V_s model from the computation of the inverse of the slope of the travel-time hodocrone, evaluated with a moving window spanning – at each step – three neighbouring arrival times. The obtained profile, to be intended as an approximate solution, is shown in Figure 2, left panel (orange line). It matches quite well with the V_s model derived from the least-square inversion procedure (in blue in the same panel).

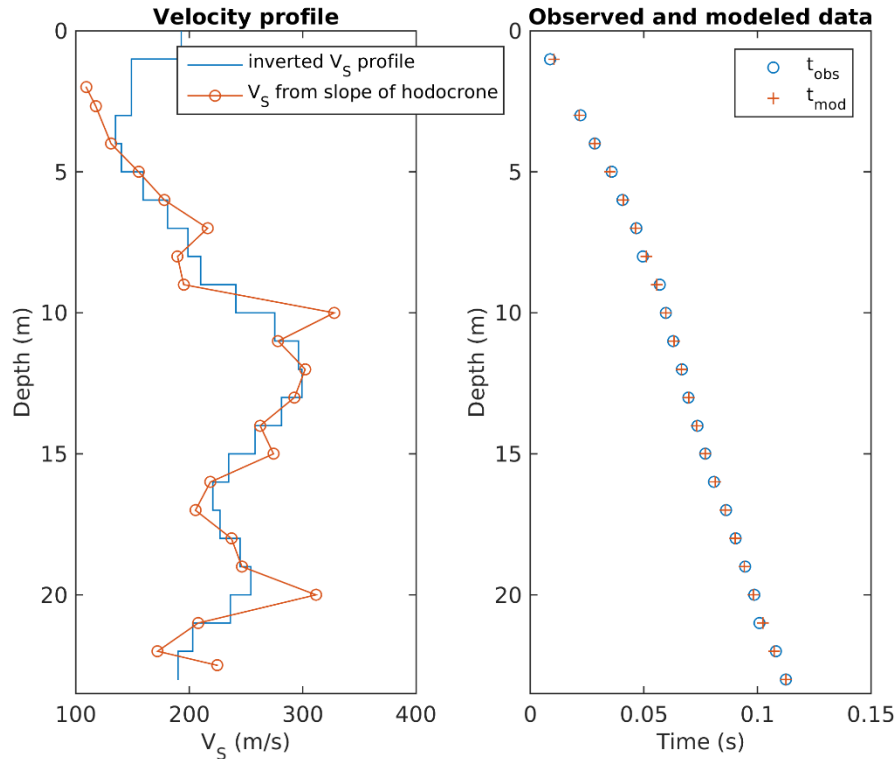


Figure 2 – Inversion of SH-wave travel times for V_s model. Left: V_s profiles obtained from least-square inversion (blue line) and from the bare inverse of the local slope of the picked hodocrone (orange). Right: comparison between picked (blue dots) and modelled (orange crosses) arrival times as obtained from the V_s profile from the least-square inversion procedure (last iteration).

Obtained velocity model and comparison with CPT data

The obtained V_s model includes a surficial layer reaching almost 200 m/s of S-wave velocity, followed by 4 meters (1 – 5 m depth) of softer material ($V_s \approx 130$ m/s). Then S-wave velocity sharply increases in the depth range 5 – 10 m, reaching 300 m/s. At larger depths (10 – 23 m), S-wave velocity maintains values around 250 m/s, with two low-velocity intervals at 17 and 23 m.

This velocity models correlates quite well with the CPT data (sleeve friction and cone tip resistance, Figure 2, second panel from left) and with the stratigraphic profile (leftmost panel; Geoprofile 2018). The higher V_s values correspond to sand and particularly gravel layers (depths 7-14 m in the stratigraphic log); the low-velocity (~ 130 m/s) surficial interval appears to be constituted mostly by silt. The average V_s value for the investigated depth range 0-23 m is 205 m/s.

The water pore pressure (u_2) profile measured by CPT survey was inverted to determine the depth of the water table. The experimental profile (blue line, second panel from right in Figure 2) was collated with a set of synthetic water pressure profiles, each computed assuming a different water table depth in the range 0-23 m (with depth intervals of 1 cm). The minimum misfit was achieved assuming a water table depth of 2.4 m (rightmost plot in Figure 2); the corresponding theoretical u_2 model is represented in Figure 2 (second panel from right) with an orange dashed line. This estimate is also confirmed by the trend of the P-wave arrival times in the acquired seismic traces (Figure 1, left panel), that appear to align along a line whose slope is approximately the inverse of 1500 m/s (velocity of pressure wave in water) from a depth of 3 m downwards.

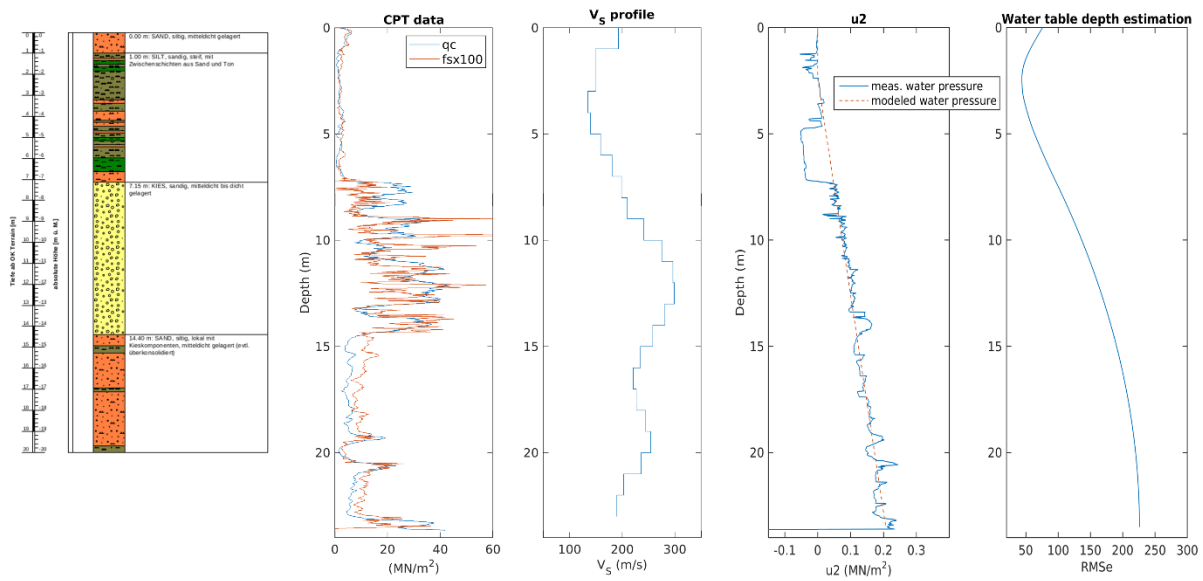


Figure 2 – From left to right: 1) stratigraphic log from CPT survey; 2) sleeve friction (fs) and cone tip resistance (qc) profiles from CPT survey (Geoprofile, 2018); 3) estimated V_s model from SCPT survey; 4) experimental (from CPT, Geoprofile 2018) and best fitting synthetic pore pressure (u_2) profiles; 5) misfit of experimental vs synthetic pore pressure profiles, plotted with the assumed water table depth.

References

Geoprofile 2018. Elektrische Drucksondierungen Standortcharakterisierung Lonza Areal 3930
Visp. Projekt Nr.: 60-1214, Bericht Nr.: 1214 / 1, Geoprofile GmbH.

Robertson P. K., 2004. Evaluating Soil Liquefaction and Post-earthquake deformations using the CPT. Geotechnical and Geophysical Site Characterization, Vol. 1 (Proc. ISC-2 Porto), Millpress, Rotterdam: 233-149.

Robertson, P. K., Campanella, R. G., Gillespie, D., and Rice, A. (1986). Seismic CPT to measure in situ shear wave velocity. *Journal of Geotechnical Engineering*, 112(8):791–803.

Robertson, P.K., and Wride C.E. 1998. Evaluating cyclic liquefaction potential using the CPT. *Canadian Geotechnical Journal*, 35 (3): 442-459.

Tarantola, A., 2005. *Inverse Problem Theory and Methods for Model Parameter Estimation*. Society for Industrial and Applied Mathematics, Philadelphia

ELEKTRISCHE DRUCKSONDIERUNGEN

STANDORTCHARAKTERISIERUNG LONZA AREAL 3930 VISP

**Projekt Nr.: 60-1214
Bericht Nr.: 1214 / 1**

Geoprofile GmbH

**ELEKTRISCHE DRUCKSONDIERUNGEN
STANDORTCHARAKTERISIERUNG
LONZA AREAL
3930 VISP**

| | |
|--------------------------------|---|
| Bauherrschaft | |
| Auftraggeber | Swiss Seismological Service |
| Adresse | SED – ETHZ Sonneggstrasse 5 8092 Zürich Hr. Walter Imperatori |
| Referenz Nr. des Auftraggebers | - |
| Projekt Nr. Geoprofile GmbH | 60-1214 |
| Band | 1 von 1 |
| Vertraulichkeit | Verteilung des Berichts beschränkt auf vom Auftraggeber genehmigten Projektteilnehmer |

Kurzbeschreibung

Der Schweizerische Erdbebendienst untersucht die Erdbebengefährdung im Kanton Wallis.

Zur erweiterten Abklärung der lokalen Baugrundverhältnisse wurde Geoprofile GmbH vom Auftraggeber beauftragt, 5 elektrische Drucksondierung bis in Tiefen von ca. 30 m abzuteufen.

Der vorliegende Bericht dokumentiert die folgenden Leistungen für den Untersuchungsstandort Visp:

- Abteufen von 2 elektrischen Drucksondierungen mit einer Länge von insgesamt 52.5 m, inklusive Messung des Porenwasserüberdrucks (CPTU 1 und CPTU 2);
- Auswertung der Messdaten;
- Geotechnische Interpretation der elektrischen Drucksondierungen und Herleitung von geotechnischen Kennwerten:

Feldarbeiten: 14. August 2018

| Version | Datum | Beschreibung | Kontrolliert | Genehmigt |
|---------|------------|----------------|--------------|-----------|
| 1 | 27.09.2018 | Schlussbericht | aks | bshs |

INHALTSVERZEICHNIS

Seite

Situation mit Lage der Sondierstellen

1

BEILAGEN

Beilage A: Ausführungspraxis

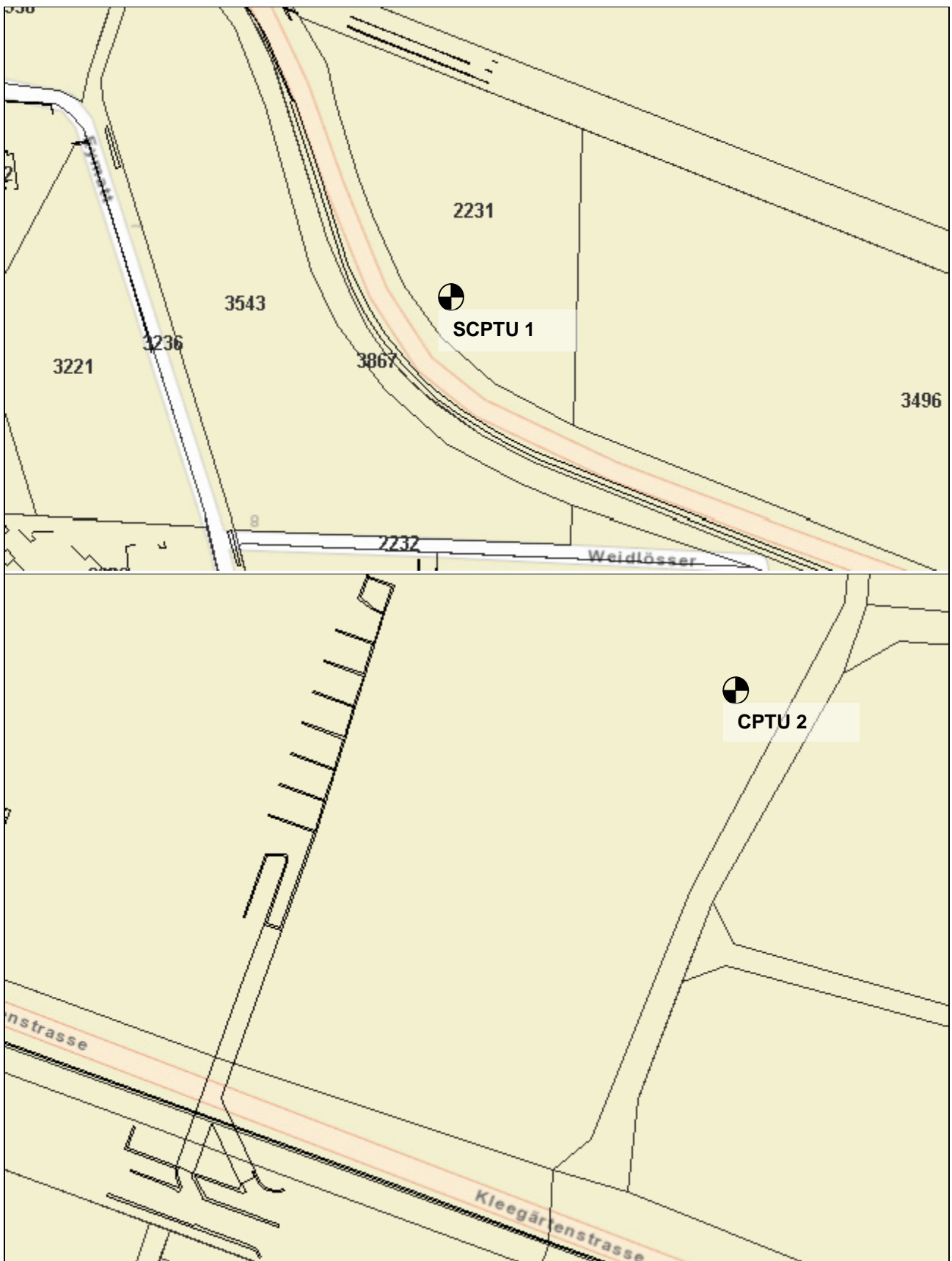
Beilage B: Elektrische Drucksondierung – Messdaten

Beilage C: Elektrische Drucksondierung – Interpretation

ANHÄNGE (allgemeine Hintergrundinformationen)

Anhang 1: Elektrische Drucksondierung (CPT)

Anhang 2: Interpretation der elektrischen Drucksondierung



Ohne Skala

SITUATION MIT UNGEFÄHRER LAGE DER SONDIERSTELLEN

Standortcharakterisierung, Lonza Areal, 3930 Visp

BEILAGE A
AUSFÜHRUNGSPRAXIS

INHALT

Beilage

Ausführungspraxis der elektrischen Drucksondierung

A1

TESTSTEUERUNG – PENETRATION

| | |
|----------------------------|--|
| Generelle Testablauf: | Siehe Anhang 1, "elektrische Drucksondierung (CPT)" (GEO/APP/001) |
| Vorbereitungsphase: | <ul style="list-style-type: none"> – Bestimmung der Sondierstandorte durch Auftraggeber – Auswahl der Messsonde durch Geoprofile GmbH – Vorherige Sättigung des Filter-Elementes durch Vakuum-Lagerung in Sonnenblumen-Öl während 24 Stunden – Nachsättigung vor Ort vor jeder Prüfung |
| Einmessen und Nivellement: | <ul style="list-style-type: none"> – Einmessen der Sondierstandorte durch Auftraggeber – Nivellement durch Auftraggeber |
| Testphase: | Keine projektspezifischen Vorkehrungen |
| Testabbruch: | Siehe Anhang 1, "elektrische Drucksondierung (CPT)" (GEO/APP/001) |
| Zusätzliche Messungen: | Keine |
| Vorbohren: | nein |

SONDIERGERÄT

| | |
|------------------------------|--|
| Schubvorrichtung: | Hydraulische Schubeinheit mit einem maximalen Druck von 150 kN und einem Hub von 1 m |
| Aufbau der Schubvorrichtung: | Allein stehend |
| Reaktionsmasse: | Sondierlastwagen 18t |
| Schubgestänge: | 36 mm A.D. |
| Schutzverrohrung: | Nicht zutreffend |
| Reibungsminderer: | Integriert in der Messsonde |
| Penetrometer: | <ul style="list-style-type: none"> – Typ S15CFIIP15 – Unabhängige Messung des Spitzenwiderstands q_c, lokale Mantelreibung f_s, Porenwasserüberdruck u_2, Abweichung von der Vertikale in X- und Y-Richtung (i_x und i_y) – Spitzenquerschnitt 15 cm² – Oberfläche des Reibungsmantels 225 cm² – Netto Flächenverhältnis a: 0.85 |

DATENAUFZEICHNUNG UND -BEARBEITUNG

| | |
|--------------------|---|
| Datenaufzeichnung: | Digitale Aufzeichnung, 1 Messung pro cm Eindringung |
| Tiefenkorrektur: | Korrektur der Sondiertiefe für der Abweichung von der Vertikale |

BEILAGE B
ELEKTRISCHE DRUCKSONDIERUNG - MESSDATEN

INHALT

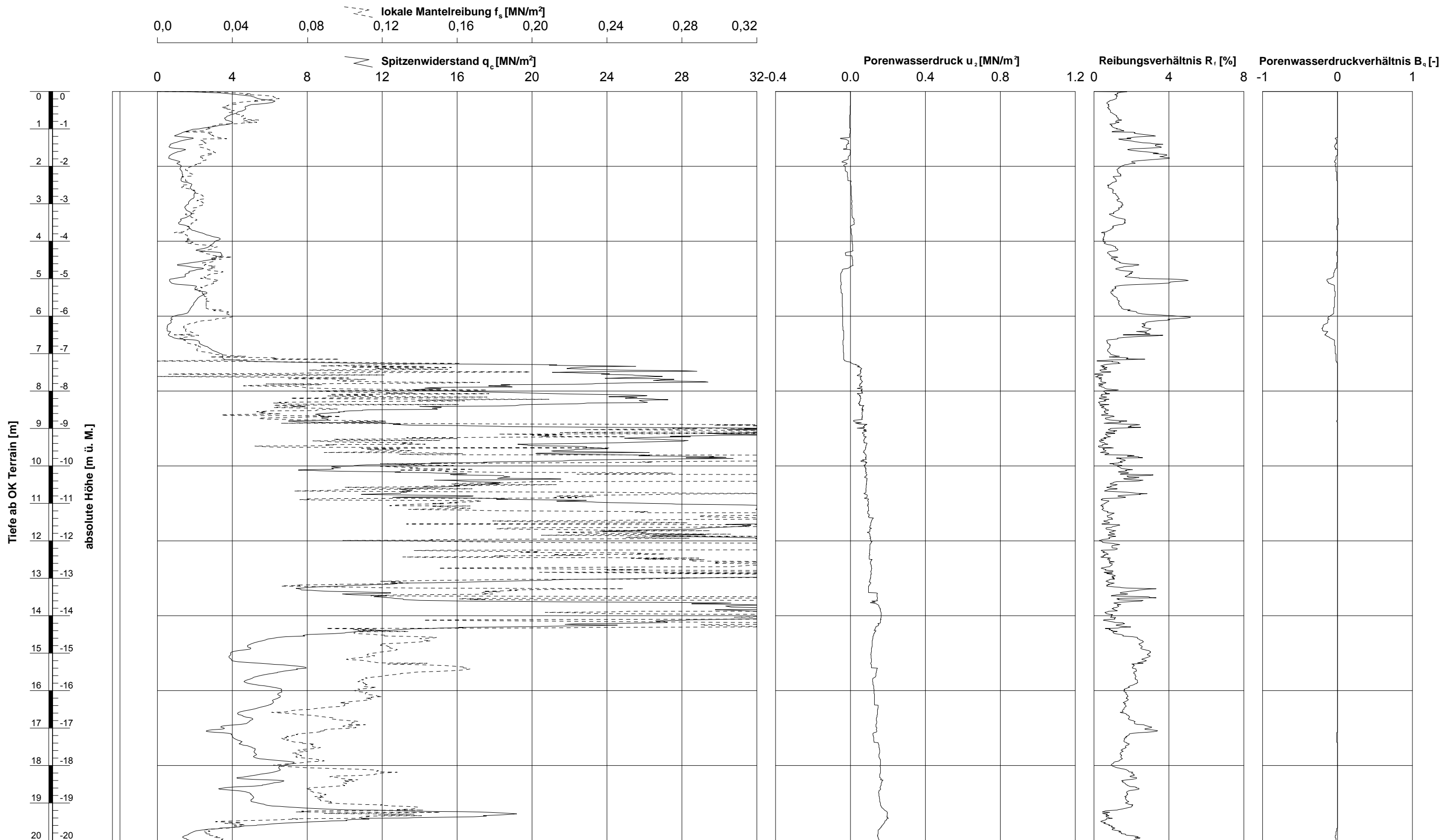
Beilage

Elektrische Drucksondierung SCPTU 1

B1 – B2

Elektrische Drucksondierung CPTU 2

B3 – B4



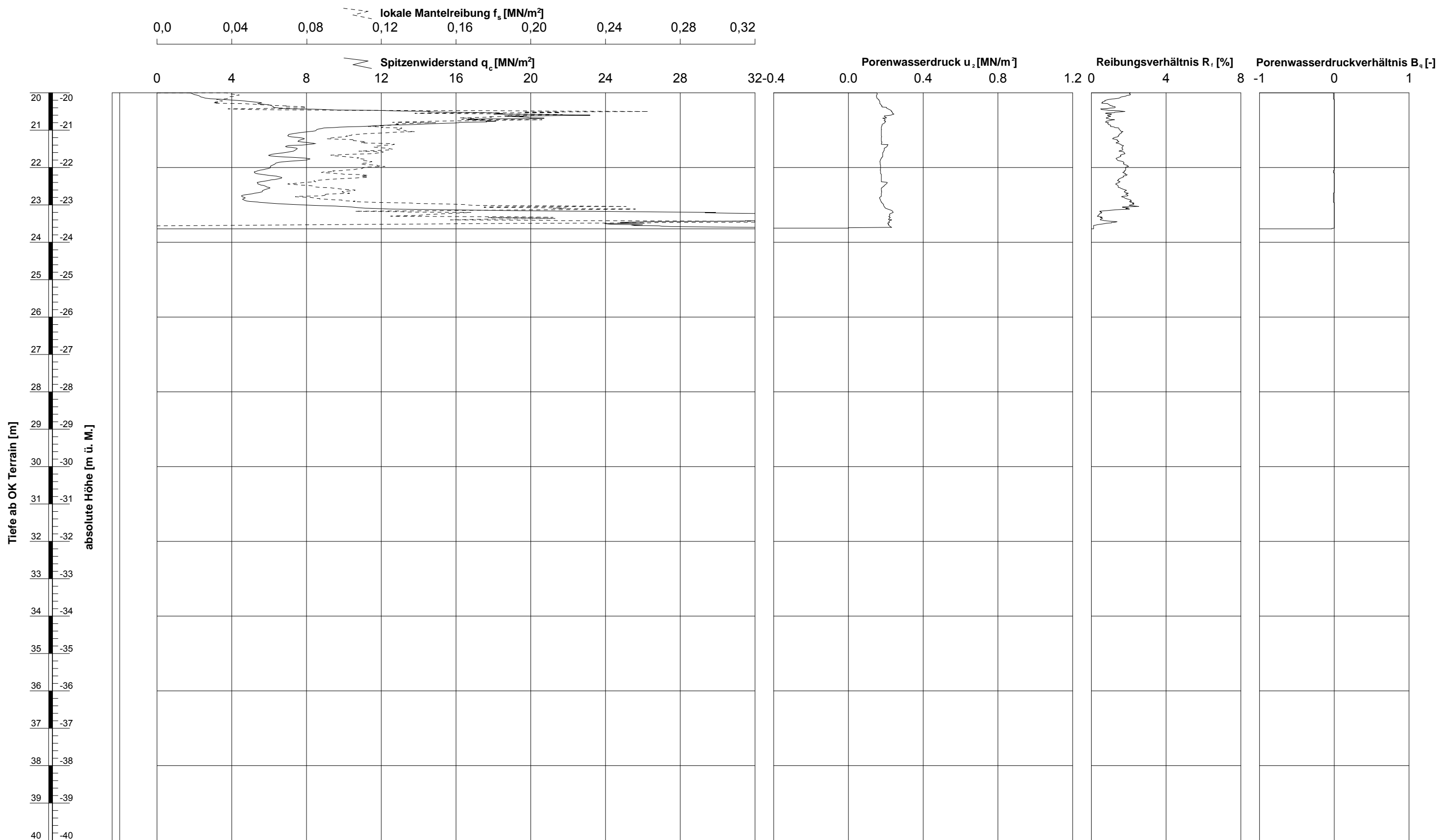
Ausführungsdatum : 14.08.2018 Koordinaten: : 633947 m O Messsonde : S15CFIIP15
 Ansatzpunkt : 0.00 m ü. M. 127577 m N Spitzenquerschnitt: 15 cm²
 Wasser : m ab OK Terrain

ELEKTRISCHE DRUCKSONDIERUNG
Messdaten
 Standortcharakterisierung SED Lonza Areal, Visp

Sondierung: SCPTU1

gezeichnet: Anes Schmidlin dd: kontrolliert:

GeODin-System / CPT Daten A3 CH 1_100_v7.GLO / 24.09.2019/12:04:56



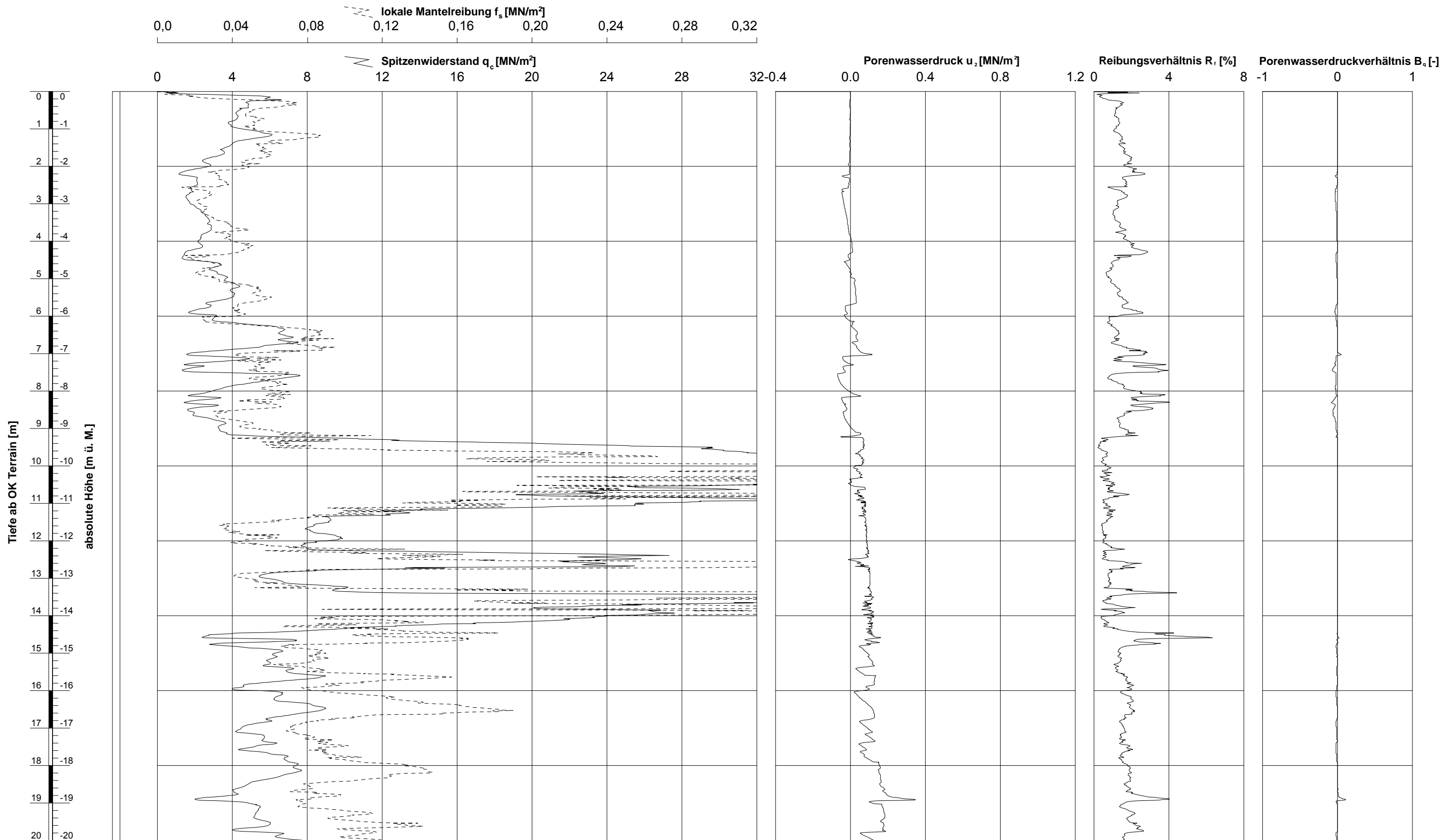
gezeichnet: Anea Schmidlin dd: kontrolliert:

GeODin-System / CPT-Daten A3 CH 1_100_v7.GLO / 24.09.2019/12.04.56

Ausführungsdatum : 14.08.2018 Koordinaten: : 633947 m O Messsonde : S15CFIIP15
 Ansatzpunkt : 0.00 m ü. M. 127577 m N Spitzenquerschnitt: 15 cm²
 Wasser : m ab OK Terrain

ELEKTRISCHE DRUCKSONDIERUNG
Messdaten
 Standortcharakterisierung SED Lonza Areal, Visp

Sondierung: SCPTU1



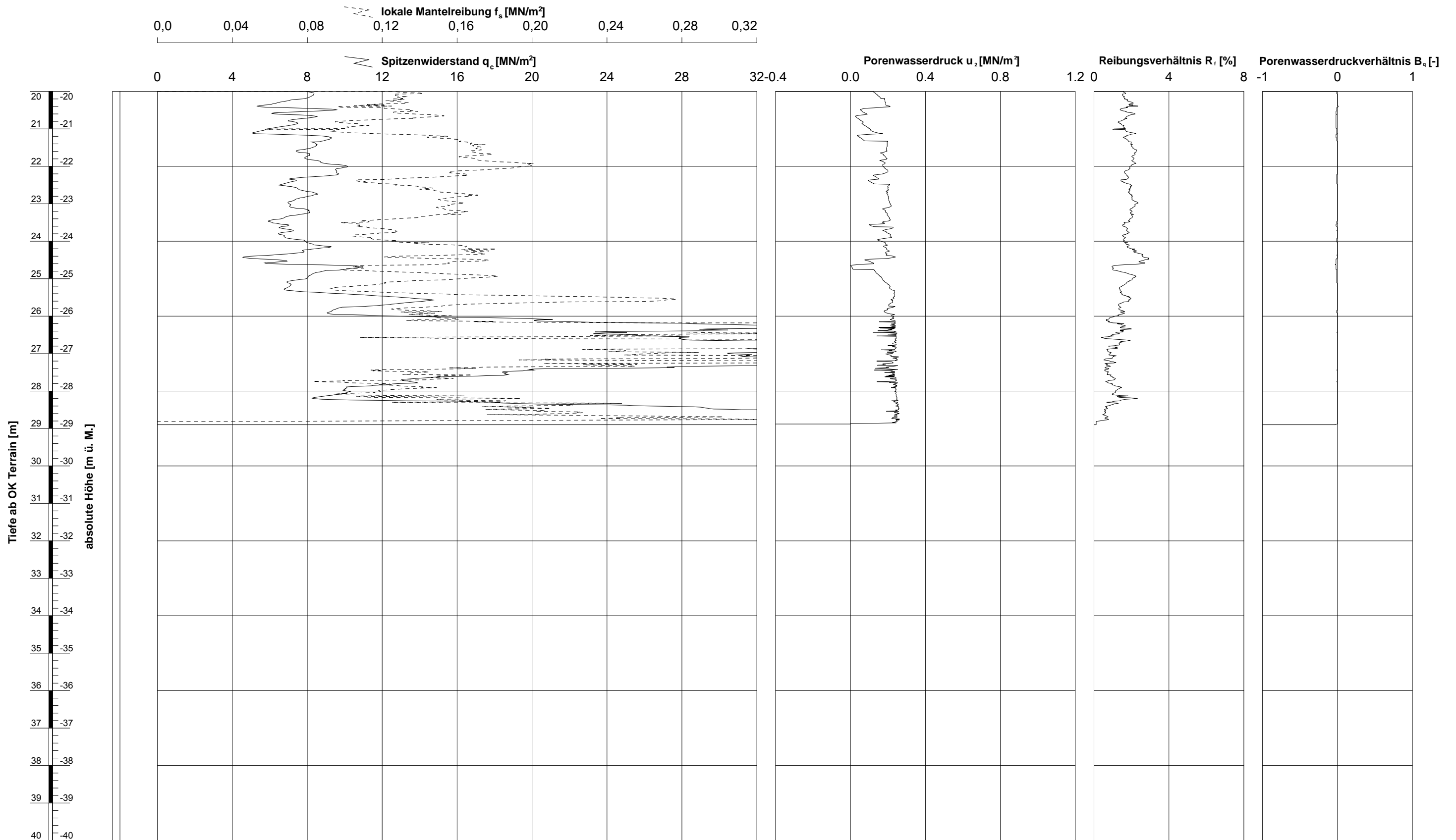
Ausführungsdatum : 14.08.2018 Koordinaten: : 633835 m O Messsonde : S15CFIIP15
 Ansatzpunkt : 0.00 m ü. M. 127788 m N Spitzenquerschnitt: 15 cm²
 Wasser : m ab OK Terrain

ELEKTRISCHE DRUCKSONDIERUNG
Messdaten
 Standortcharakterisierung SED Lonza Areal, Visp

Sondierung: CPTU2

gezeichnet: Anea Schmidlin dd: kontrolliert:

GeODin-System / CPT Daten A3 CH 1_100_v7.GLO / 24.09.2019/12.04.26



Ausführungsdatum : 14.08.2018 Koordinaten : 633835 m O Messsonde : S15CFIIP15
 Ansatzpunkt : 0.00 m ü. M. 127788 m N Spitzenquerschnitt: 15 cm²
 Wasser : m ab OK Terrain

ELEKTRISCHE DRUCKSONDIERUNG
Messdaten
 Standortcharakterisierung SED Lonza Areal, Visp

Sondierung: CPTU2

gezeichnet: Aneta Schmidlin dd: kontrolliert:

GeODin-System / CPT Daten A3 CH 1_100_v7.GLO / 24.09.2019/12.04.26

BEILAGE C
ELEKTRISCHE DRUCKSONDIERUNG - INTERPRETATION

INHALT

Beilage

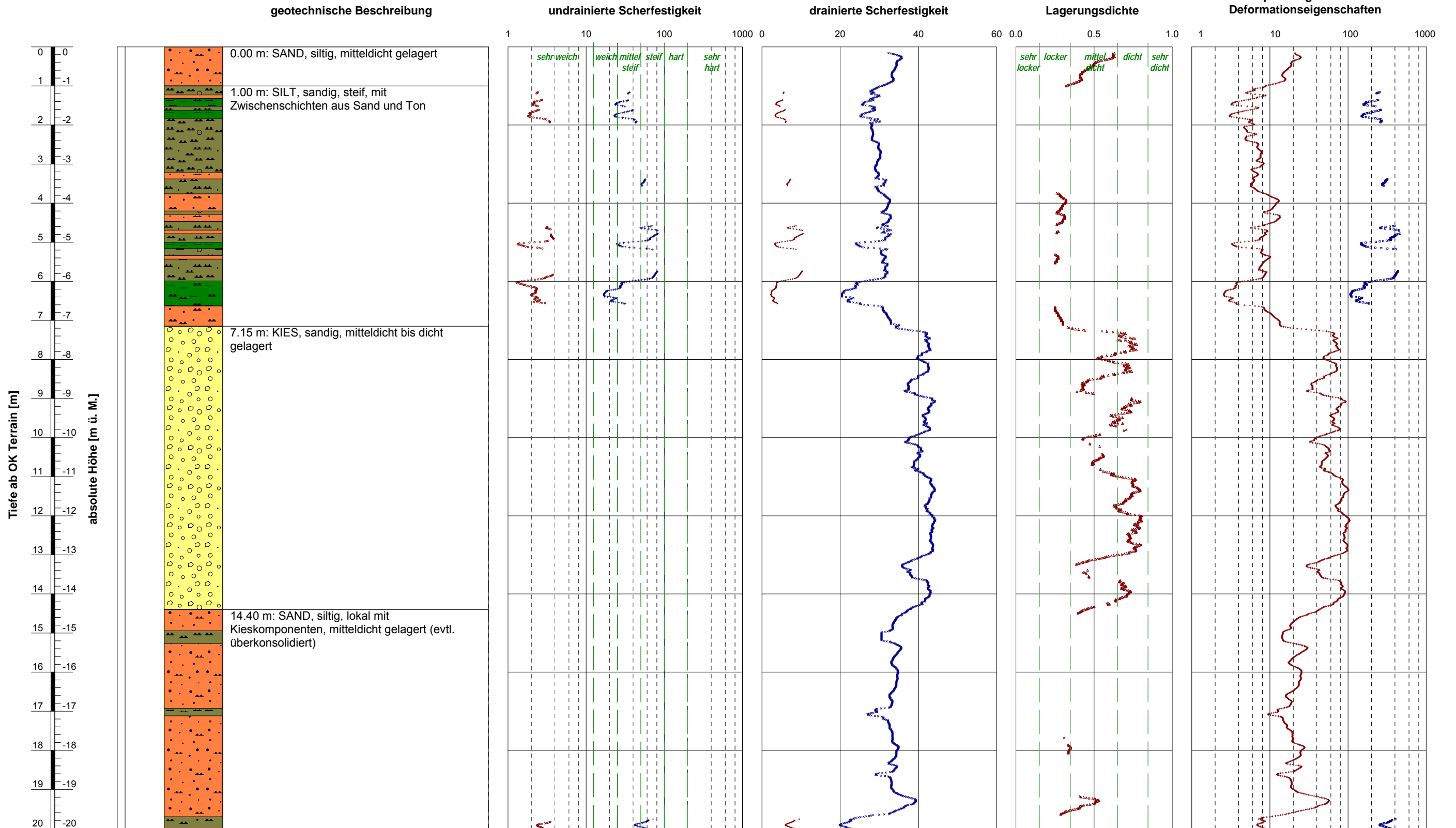
Elektrische Drucksondierung SCPTU 1

C1 – C2

Elektrische Drucksondierung CPTU 2

C3 – C4

- + undrainierte Scherfestigkeit c_u [kN/m²]
- Sensitivität S_t [-]
- × effektiver innerer Reibungswinkel ϕ [°]
- effektive Kohäsion c' [kN/m²]
- △ bezogene Lagerungsdichte I_D [-]
- Vorkonsolidierungsdruck σ_p [kN/m²]
- + oedometrischer Steifemodul bei Erstbelastung E_{oed} (früher: $M_{E,1}$ bzw. E_s) [MN/m²]



Ausführungsdatum : 14.08.2018 Koordinaten : 633947 m O
 Ansatzpunkt : 0.00 127577 m N

ELEKTRISCHE DRUCKSONDIERUNG
 Interpretierte geotechnische Erwartungswerte
 Standortcharakterisierung SED Lonza Areal, Visp

Sondierung: SCPTU1

- + undrainierte Scherfestigkeit c_u [kN/m²]
- Sensitivität S_t [-]
- × effektiver innerer Reibungswinkel ϕ [°]
- effektive Kohäsion c' [kN/m²]
- △ bezogene Lagerungsdichte I_D [-]
- Vorkonsolidierungsdruck σ_p [kN/m²]
- + oedometrischer Steifemodul bei Erstbelastung E_{oed} (früher: $M_{E,1}$ bzw. E_s) [MN/m²]

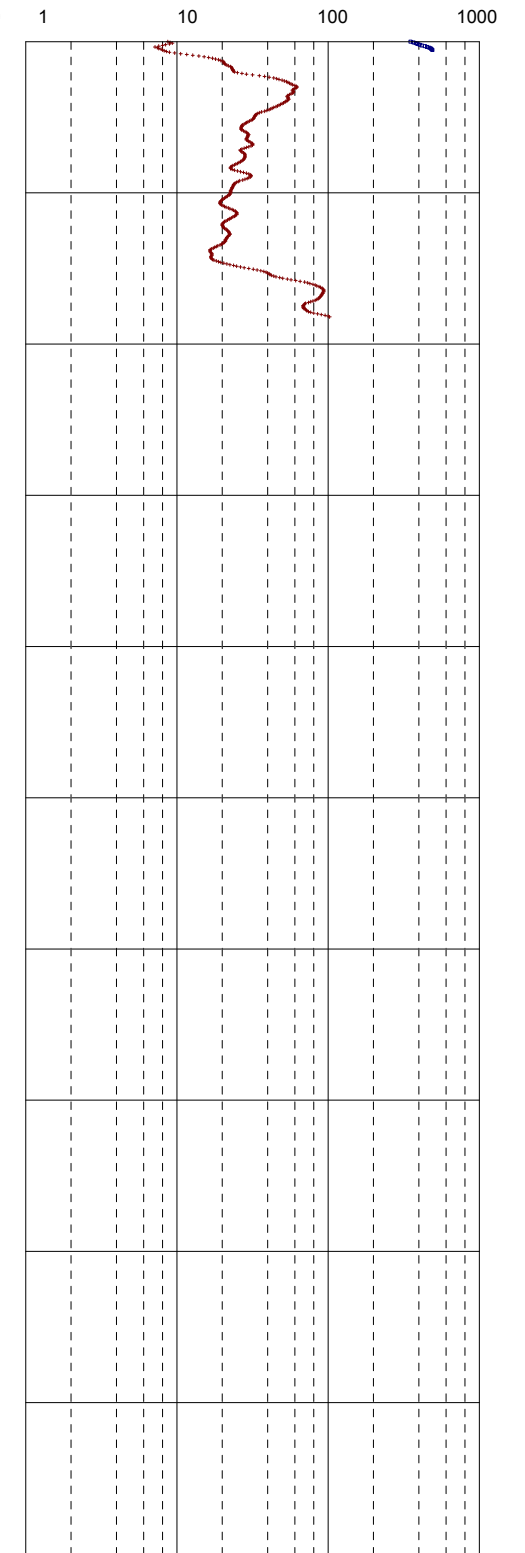
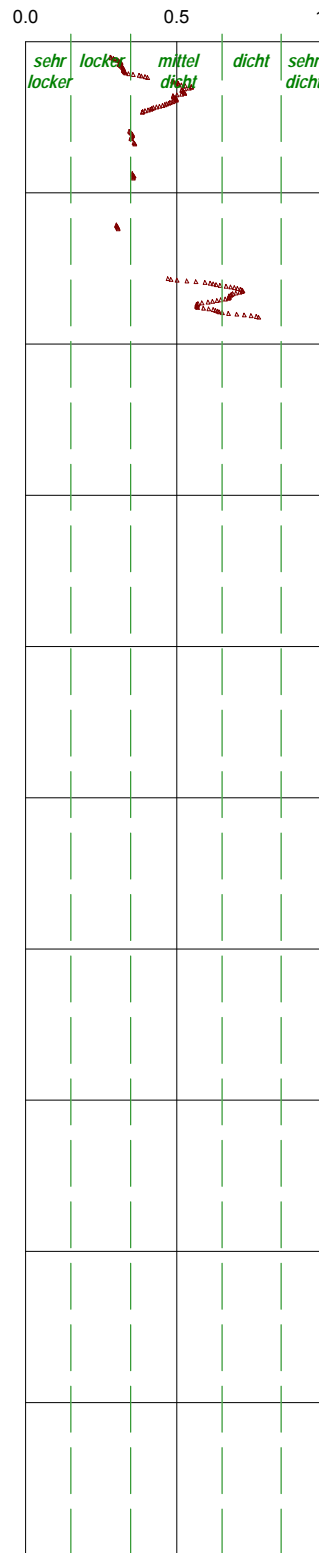
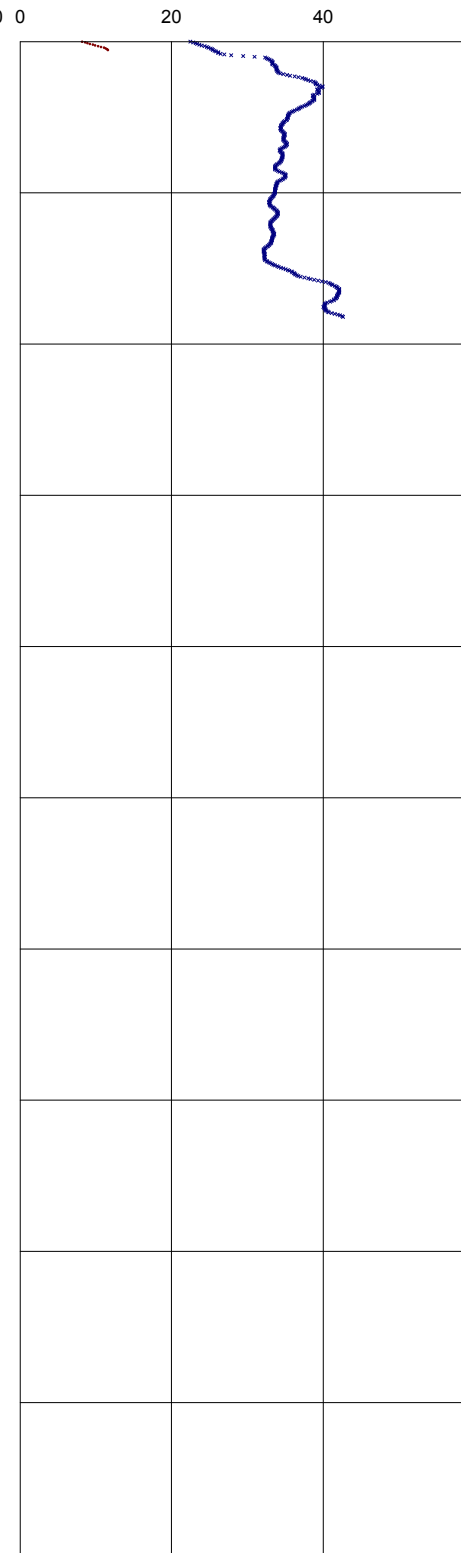
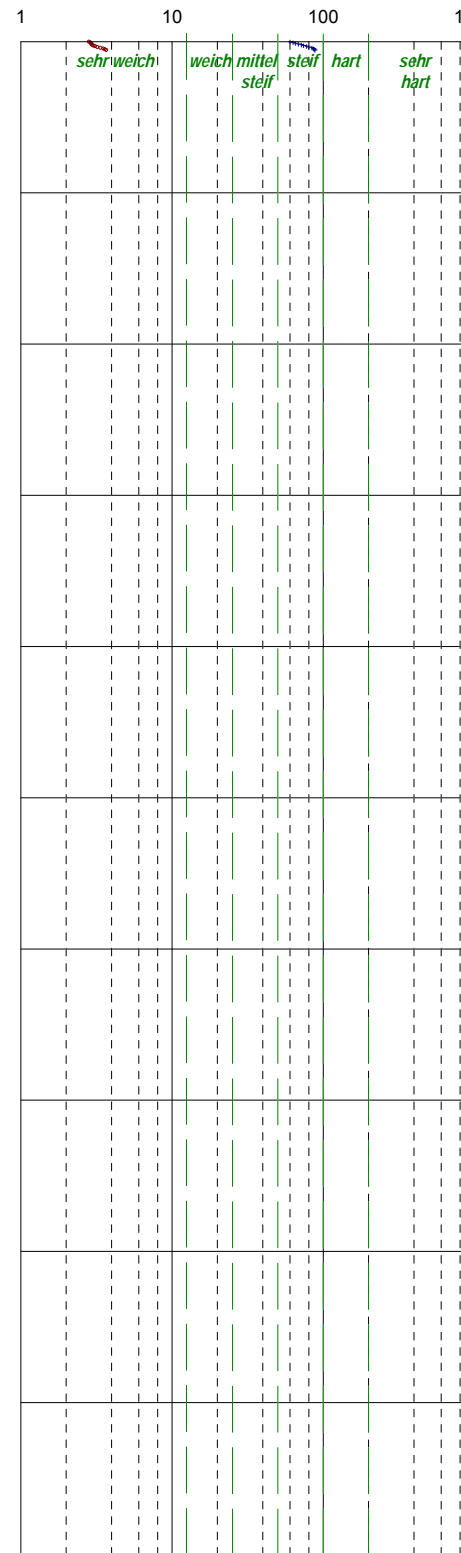
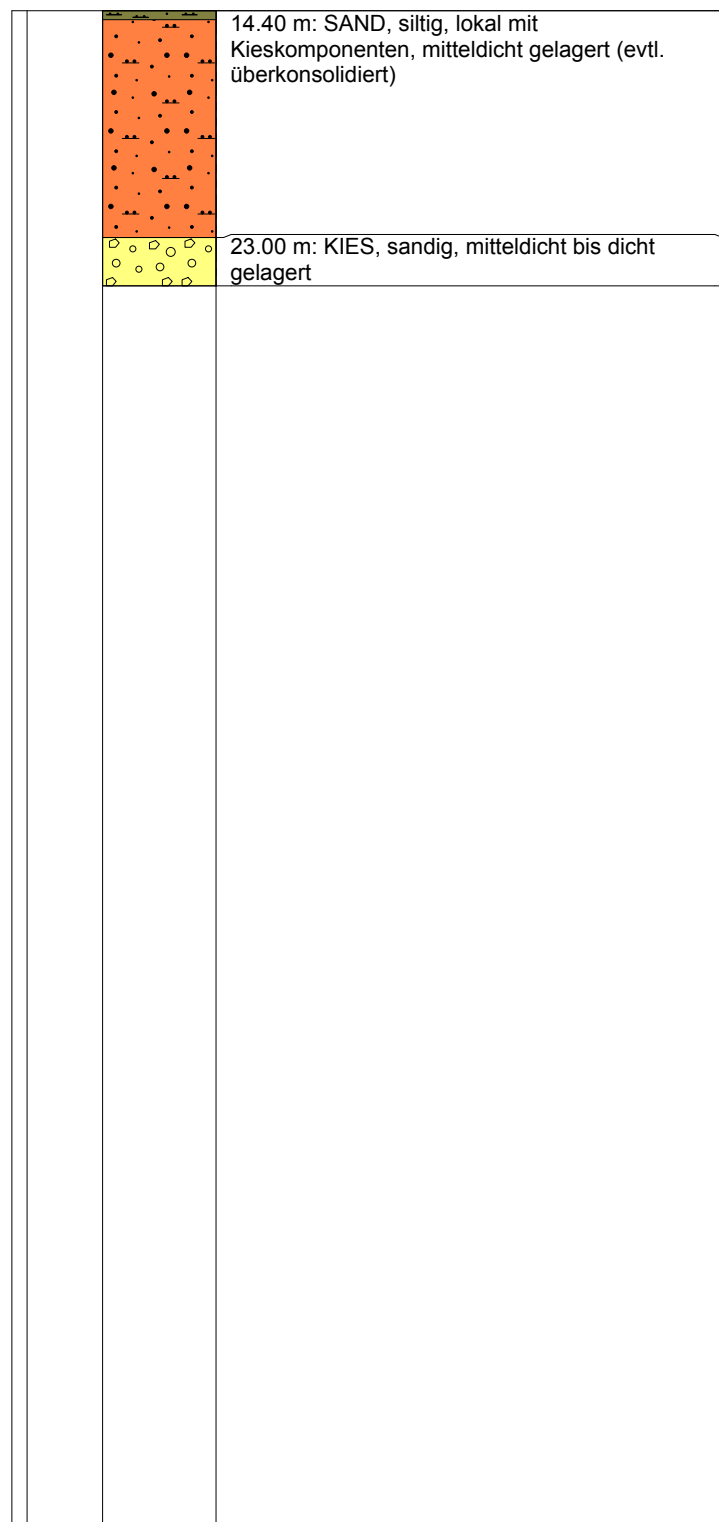
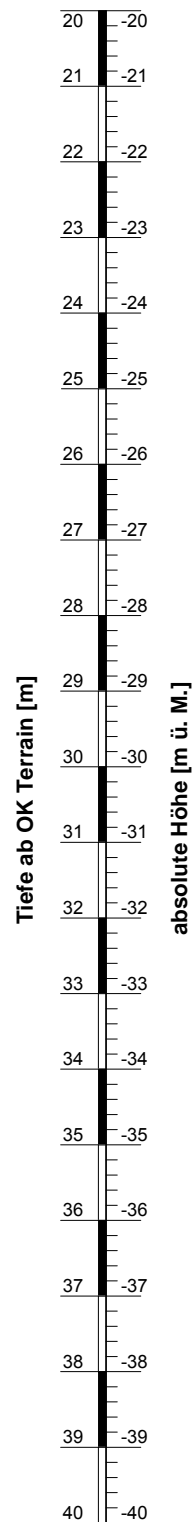
geotechnische Beschreibung

undrainierte Scherfestigkeit

drainierte Scherfestigkeit

Lagerungsdichte

In-situ Spannungsverhältnisse / Deformationseigenschaften



Ausführungsdatum : 14.08.2018
 Ansatzpunkt : 0.00

Koordinaten : 633947 m O
 127577 m N

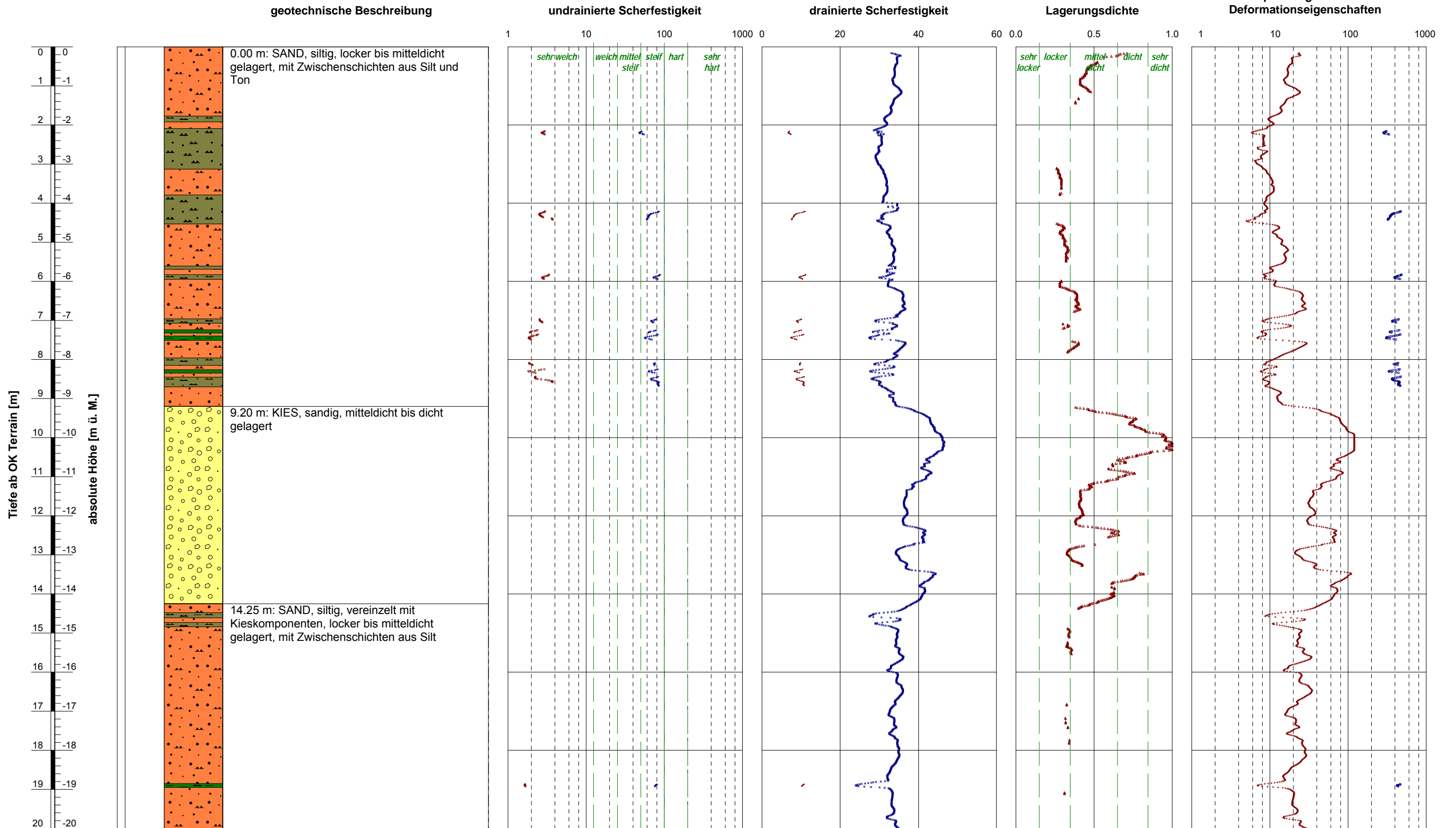
ELEKTRISCHE DRUCKSONDIERUNG
 Interpretierte geotechnische Erwartungswerte
 Standortcharakterisierung SED Lonza Areal, Visp

Sondierung: SCPTU1

gezeichnet: aks Datum: kontrolliert: cfa

GeODin-System / CPT Interp A3 CH 1_100_v7.GLO / 24.09.2018/12:05:10

- + undrainierte Scherfestigkeit c_u [kN/m²]
- Sensitivität S_t [-]
- × effektiver innerer Reibungswinkel ϕ [°]
- effektive Kohäsion c' [kN/m²]
- △ bezogene Lagerungsdichte I_D [-]
- Vorkonsolidierungsdruck σ_p [kN/m²]
- + oedometrischer Steifemodul bei Erstbelastung E_{oed} (früher: $M_{E,1}$ bzw. E_s) [MN/m²]



Ausführungsdatum : 14.08.2018 Koordinaten : 633835 m O
 Ansatzpunkt : 0.00 127788 m N

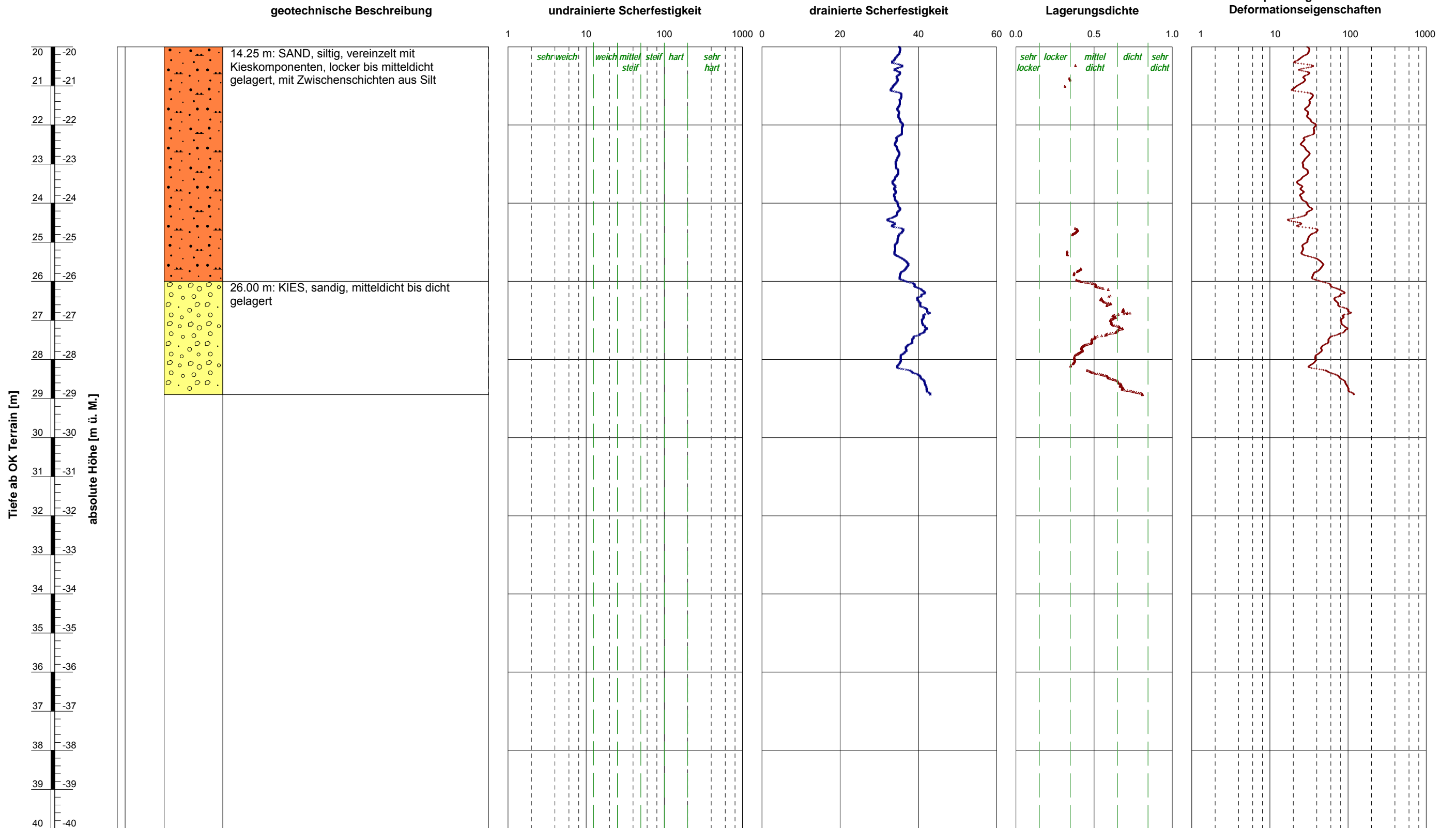
ELEKTRISCHE DRUCKSONDIERUNG
 Interpretierte geotechnische Erwartungswerte
 Standortcharakterisierung SED Lonza Areal, Visp

Sondierung: CPTU2

gezeichnet: aks Datum: kontrolliert: cfa

GeODin-System / CPT Interp A3 CH 1_100_v7.GLO / 24.09.2018/12:04:10

- + undrainierte Scherfestigkeit c_u [kN/m²]
- Sensitivität S_t [-]
- × effektiver innerer Reibungswinkel ϕ [°]
- effektive Kohäsion c' [kN/m²]
- △ bezogene Lagerungsdichte I_D [-]
- Vorkonsolidierungsdruck σ_p [kN/m²]
- + oedometrischer Steifemodul bei Erstbelastung E_{oed} (früher: $M_{E,1}$ bzw. E_s) [MN/m²]



Ausführungsdatum : 14.08.2018 Koordinaten : 633835 m O
 Ansatzpunkt : 0.00 127788 m N

ELEKTRISCHE DRUCKSONDIERUNG
 Interpretierte geotechnische Erwartungswerte
 Standortcharakterisierung SED Lonza Areal, Visp

gezeichnet: aks Datum: kontrolliert: cfa

GeODin-System / CPT Interp A3 CH 1_100_v7.GLO / 24.09.2018/12:04:10

ANHÄNGE
ALLGEMEINE HINTERGRUNDINFORMATION

INHALT

Anhang 1: Elektrische Drucksondierung (CPT)

Anhang 2: Interpretation der elektrischen Drucksondierung

ALLGEMEINES

Die Drucksondierung (CPT) ist ein Verfahren, das häufig zur Untersuchung des Baugrunds verwendet wird. Hierbei wird der Widerstand des Baugrunds bei konstantem und kontinuierlichem Eindringen mit einem zylindrischen und mit internen Sensoren ausgestatteten Penetrometer bestimmt. Gemessen werden Eindringtiefe (z), Spitzenwiderstand (q_c), lokale Mantelreibung (f_s) und ggf. Porenwasserdruck (u_2) und der vertikale Neigungswinkel (i_x bzw. i_y). Die Ergebnisse ermöglichen eindeutige Rückschlüsse auf die Beschaffenheit des Baugrunds.

Die von Geoprofile für die Drucksondierung angewandten Verfahren und verwendeten Geräte richten sich nach ISO EN 22476-1 und den Regelungen der Veröffentlichung "International Reference Test Procedure" der internationalen Gesellschaft für Grundbau und Bodenmechanik (ISSMGE, 1999).

Wenn nicht anders vereinbart, gelten die folgenden Kriterien für die Beendigung des Versuchs:

- das Erreichen der gewünschten Eindringtiefe,
- die Abweichung von der Vertikale ist grösser als 15° ,
- die Abweichung von der Vertikale vergrössert sich plötzlich,
- das Erreichen der Höchstleistung des Druckgerätes, der Auflagevorrichtung, der Schubstangen und/oder der Messsensoren,
- Umstände im Ermessen des Sondiermeisters, wie z.B. das Risiko von Sach- oder Personenschaden.

ERGEBNISSE

Die Darstellung der Ergebnisse der Drucksondierungen umfasst:

- die Parameter q_c , f_s und R_f sowie u_2 in Abhängigkeit der Tiefe unter der Erdoberfläche,
- fakultativ die Parameter q_t , q_n und B_q bei Versuchen mit Porendruckmessungen,
- fakultativ den Neigungswinkel i bei Versuchen mit Winkelmessungen.

Als Bezugswert der Versuche gilt die Erdoberfläche. Die Definition der einzelnen Parameter ist wie folgt:

z = Eindringtiefe in die Erdoberfläche, bezüglich des vertikalen Neigungswinkels (i) korrigiert:

$$z = \int_0^l \cos i \cdot dl$$

dabei ist:

z =Eindringtiefe

l =Eindringlänge

i =vertikaler Neigungswinkel

q_c = Spitzenwiderstand bezüglich der Referenzwerte des Versuchs.

f_s = lokale Mantelreibung. Die Tiefe wird so korrigiert, dass die (hinter der Spitze gemessene) Mantelreibung sich auf die Tiefe der Sondierspitze bezieht.

R_f = Verhältnis der Mantelreibung zum Spitzenwiderstand (f_s/q_c).

u_2 = Porendruck direkt hinter der Sondierspitze (Position 2). Die Tiefe wird so korrigiert, dass der gemessene Porenwasserdruck sich auf die Tiefe der Sondierspitze bezieht.

Während der Versuchsdurchführung kann es u.U. zu einem Sättigungsverlust des Filterelementes kommen (Lunne et al., 1997). Zu den möglichen Gründen zählen:

- Eindringen in einen teilweise gesättigten Boden;
- Das Auftreten von negativem Porenwasserdruck, so dass es zu Kavitation kommt. Dies kann zum Beispiel beim Eindringen in einen dicht gelagerten Sand oder einen überkonsolidierten Ton auftreten.

Ein Sättigungsverlust führt normalerweise zu einem geringeren Porendruck beim Eindringen in den Boden unterhalb dieser Zone.

q_t = Totaler Spitzenwiderstand. Diese Kenngrösse beinhaltet Korrekturen für den hydrostatischen und den transienten Porendruck sowie für die Konstruktion der Sondierspitze:

$$q_t = q_c + (1-a)u_2$$

Dabei gilt:

a = Netto-Flächenverhältnis des Querschnitts der Stahlfläche in der Öffnung zwischen der Sondierspitze und der Reibungshülse. Dieses Verhältnis ist von der Art des Penetrometers abhängig.

q_n = $q_t - \sigma_{vo}$ = Netto-Spitzenwiderstand. Diese Kenngrösse beinhaltet Korrekturen für den hydrostatischen und den transienten Porendruck sowie für die Konstruktion der Sondierspitze und die In-Situ Spannung im Untergrund. Dabei gilt:

σ_{vo} = totale vertikale In-Situ Spannung im Bereich der Sondierspitze. Dieser Wert ist berechnet.

B_q = Porendruckverhältnis:

$$B_q = (u_2 - u_o) / q_n \quad \text{mit}$$

u_o = hydrostatischer Porenwasserdruck im Bereich der Sondierspitze. Es handelt sich um einen

berechneten Wert.

WEITERE MESSUNGEN

Mit der elektrischen Drucksondierung können weitere Messungen vorgenommen werden:

- Messung des hydrostatischen Wasserdrucks in einer bestimmten Tiefe;
- Dissipations-Test. Hierbei wird die Verringerung des transienten Porenwasserdrucks als Funktion der Zeit gemessen. Die Resultate erlauben Rückschlüsse auf die horizontale Durchlässigkeit von feinkörnigen Schichten und somit auf die benötigte Zeit bis zum Abklingen der primären Setzungen.
- Prüfung des Reibungs-Aufbaus. Hierbei wird die Zunahme der lokalen Mantelreibung nach einer Unterbrechung des Sondiervorgangs gemessen. Die Resultate erlauben Rückschlüsse auf die zeitlichen Entwicklung der Mantelreibung entlang eines Pfahlschafts.

Für die Durchführung dieser zusätzlichen Messungen muss der Sondiervorgang angehalten werden.

LITERATURANGABEN

CEN (2005), "Geotechnische Erkundung und Untersuchung - Felduntersuchungen - Teil 1: Drucksondierungen mit elektrischen Messwertaufnehmern und Messeinrichtungen für den Porenwasserdruck (ISO EN 22476-1:2005)

ISSMGE International Society of Soil Mechanics and Geotechnical Engineering (1999), "International Reference Test Procedure for the Cone Penetration Test (CPT) and the Cone Penetration Test with Pore Pressure (CPTU)", Bericht vom ISSMGE Technical Committee 16 bzgl. der Bestimmung von Baugrundeigenschaften mittels in-situ Prüfverfahren, Proceedings of the Twelfth European Conference on Soil Mechanics and Geotechnical Engineering, Amsterdam, editiert Barends et al., Vol. 3, pp. 2195-2222.

Lunne, T. (1999), "Special Workshop – Investigation Methods", Proceedings of the Twelfth European Conference on Soil Mechanics and Geotechnical Engineering, Amsterdam, editiert Barends et al., Additional Volume, pp. 51-52.

EINLEITUNG

Das vorliegende Dokument gibt einen Überblick der verwendeten Auswertungsmethoden für die Testergebnisse von Drucksondierungen. Die Eignung der einzelnen Methoden hängt unter anderem von den Anforderungen des jeweiligen Projektes ab und muss durch einen Geotechnik-Ingenieur beurteilt werden.

Die Auswertung von Drucksondierungsversuchsergebnissen hilft bei der Festlegung von Parametern für geotechnische Modelle. Die konventionellen Modelle stützen sich normalerweise auf die Plastizitätstheorie für den Grenzzustand der Tragfähigkeit und auf die Elastizitäts- und Konsolidierungstheorie für den Grenzzustand der Gebrauchstauglichkeit (CEN, 1994). Merkmale für solche geotechnischen Modelle sind:

- eine Analyse des Verhaltens in drainiertem oder undrainiertem Zustand für Plastizitätsmodelle
- die Analyse für den Grenzzustand der Tragfähigkeit unterscheidet sich von der für den Grenzzustand der Gebrauchstauglichkeit.

Die Auswertungsmethoden für Drucksondierungen basieren meist auf empirischen Korrelationen mit theoretischem Hintergrund. Die Datenintegration mit anderen, zusätzlichen Untersuchungstechniken wie Bohrungen und Laborversuchen erhöht den Grad der Zuverlässigkeit. Lunne et al. (1997) geben einen Überblick über verschiedene Auswertungsmethoden.

Die unten erläuterten Bewertungsmethoden unterliegen einigen Einschränkungen:

- Empirische Korrelationen beziehen sich auf Referenzparameter, welche in einem festgelegten Referenzverfahren gemessen wurden. So bezieht sich die mit einem N_{KT} -Faktor von Sondiererergebnissen abgeleitete undrainierte Scherfestigkeit auf denen, welche in einem einstufigen, isotrop konsolidierten, undrainierten Triaxialversuch (CIU) an einer ungestörten Bodenprobe im Labor ermittelt wurde. Der Bezugsparameter ist nicht unbedingt dem gewählten geotechnischen Modell angemessen, so dass eine Anpassung erforderlich sein könnte.
- Die meisten Bewertungsmethoden gelten meistens für einen Sand oder einen Ton. Bei Silt, Ton/Sand/Kies Mischungen, sehr dünn geschichteten Böden, zementierten Schichten und/oder Verwitterungsböden kann es zu Abweichungen kommen. Im Falle von solchen Schichten muss spezifisch vorgegangen werden (Peuchen et al., 1996; Lunne et al., 1995).
- Die Auswertungen beziehen sich auf die Bedingungen zu Beginn der geotechnischen Untersuchungen. Geologische und umwelttechnische Faktoren sowie Bauarbeiten können die vorgefundenen Baugrundverhältnisse verändern.
- Die Drucksondierung gibt nur bedingt direkte Information über den Grenzzustand der Gebrauchstauglichkeit (Verformungen), da beim Eindringen der umliegende Boden stark deformiert wird. Im Vergleich zum Grenzzustand der Tragfähigkeit können genauere zusätzliche Daten erforderlich sein.

- Drainiertes oder undrainiertes Verhalten für die geotechnische Analyse kann dem jeweiligen drainierten oder undrainierten Verhalten während dem Sondiervorgang entsprechen, muss dies aber nicht. Es ist Aufgabe des Geotechnik-Ingenieurs zu beurteilen, welches Verhalten für die geotechnische Fragestellung relevant ist.

EINDRINGVERHALTEN

Während des Sondiervorgangs treten grössere Deformationen in unmittelbarer Nähe, und kleinere elastische Deformationen in grösserem Abstand des Penetrometers auf. Die Zusammensetzung der einzelnen Schichten, die Lagerungsdichte, die Struktur und die In-Situ Spannungsverhältnisse beeinflussen die Messgrössen.

Der gemessene Spitzenwiderstand q_c wird unter anderem durch den Porenwasserdruck beeinflusst. Da das Verhältnis effektiver Spannung zum Porendruck in grobkörnigen Schichten hoch ist, kann dieser Einfluss normalerweise vernachlässigt werden. Beim Eindringen in Ton ist dasselbe Verhältnis jedoch niedrig. Es kann somit wichtig sein zu wissen, wie hoch der Porendruck um das Penetrometer herum ist. Zu den Parametern, die die Auswirkungen des Porendrucks berücksichtigen, zählen der Gesamtspitzenwiderstand q_t , der Netto-Spitzenwiderstand q_n und das Porendruckverhältnis B_q . Diese Parameter können berechnet werden, wenn Daten bezüglich des Porenwasserdrucks vorliegen. Die Auswirkungen des Porendrucks auf die Mantelreibung f_s sind sehr gering und werden üblicherweise ignoriert. Die Berechnung des Reibungsverhältnisses R_f (definiert als f_s/q_c) lässt keine Rückschlüsse auf die Auswirkungen des Porendrucks zu.

Die Eindringgeschwindigkeit in Bezug auf die Durchlässigkeit des Bodens bestimmt, ob das Bodenverhalten in erster Linie undrainiert, drainiert oder teilweise drainiert ist. Normalerweise ist das Bodenverhalten bei Drucksondierungen in Sand und Kies drainiert (es gibt keinen messbaren, aufgrund des Sondiervorgangs hervorgerufenen Porenwasserüberdruck) und in Ton undrainiert (bedeutende Änderung des Porenwasserdrucks). Teilweise drainiert ist es bei Böden mit mittlerer Durchlässigkeit, wie z. B. bei Silt. Die folgenden Abschnitte gehen näher auf die Ermittlung von geotechnischen Parametern aufgrund von elektrischen Drucksondierungen ein.

KLASSIFIZIERUNG

Die Klassifizierung der verschiedenen Schichten in Bezug auf das allgemeine Bodenverhalten (und in eingeschränkter Masse die Bodenart) ist, im Vergleich mit anderen Ermittlungstechniken, ein wichtiger Teil der Drucksondierung.

Die Klassifizierung des Bodenverhaltens steht im Einklang mit der von Robertson (1990) beschriebenen Vorgehensweise. Diese betrachtet eine normalisierte Klassifizierung des Bodenverhaltens, die eine allgemeine Leitlinie zur Bestimmung der wahrscheinlichen Bodenart (z. B. Sand, siltig) gibt. Hierzu sind Daten einer Porenwasserdrucksondierung nötig. Es besteht eine vereinfachte Vorgehensweise für Ergebnisse ohne Messung des Porenwasserdrucks (Robertson et al., 1986).

IN-SITU SPANNUNGSVERHÄLTNISSE

Die Spannungsverhältnisse im Baugrund müssen bekannt sein, damit Parameter wie die bezogene Lagerungsdichte I_D und der innere Reibungswinkel φ' ermittelt werden können. Die effektive vertikale Spannung σ'_v kann berechnet werden, jedoch ist die effektive horizontale Spannung $\sigma'_{ho} = K_0 \sigma'_{vo}$ meist unbekannt und hängt primär vom Überkonsolidierungsgrad OCR [-] und dem effektiven inneren Reibungswinkel φ' [°] ab:

$$K_0 = (1 - \sin \varphi') \cdot OCR^{\sin \varphi'} \quad [1]$$

Für eine Erklärung der verwendeten Symbole siehe Anhang „elektrische Drucksondierung (CPT)“, insofern nicht anders erwähnt. Der Zusammenhang basiert auf mechanischer Überkonsolidierung von rekonstituierten Probekörpern im Labor. Überkonsolidierung kann in der Natur durch geologische Faktoren wie z.B. glaziale Vorbelastung und Erosion, aber auch durch Grundwasserschwankungen und das Altern der Ablagerungen („ageing“) hervorgerufen werden. Normalerweise bewegen sich In-Situ Werte für K_0 für Tiefen bis zu 50 m zwischen 0.4 und 2.0. In grösseren Tiefen (> 50 m) beträgt dieser Ruhedruckkoeffizient üblicherweise weniger als 1.

Der maximale passive Erddruck stellt eine Obergrenze für die effektive horizontale Spannung dar. Der Koeffizient des passiven Erddrucks richtet sich unter Vernachlässigung einer allfälligen Kohäsion nach:

$$K_p = \frac{1 + \sin \varphi'}{1 - \sin \varphi'} \quad [2]$$

Wenn die effektive horizontale Spannung das Niveau des passiven Erddrucks erreicht, können Risse im Erdreich entstehen. In ausgetrockneten Tonen kann auch früher Rissbildung auftreten. In verkitteten Schichten kann aufgrund der vorhandenen Kohäsion ein horizontaler Erddruck vorhanden sein, welcher grösser ist als oben beschrieben. Die Kombination der Beziehung für K_0 und K_p ergibt eine Obergrenze für die Überkonsolidierung:

$$OCR_{\max} = \left[\frac{1 + \sin \varphi'}{(1 - \sin \varphi')^2} \right]^{\frac{1}{\sin \varphi'}} \quad [3]$$

Für einen Ton kann der maximale Überkonsolidierungsgrad OCR_{\max} somit weniger als 4, für einen Sand jedoch mehr als 50 betragen.

Der Überkonsolidierungsgrad von feinkörnigen Sedimenten kann direkt aus den Sondierergebnissen abgeleitet werden (Kulhawy und Mayne, 1990):

$$OCR = \alpha \cdot (q_T - \sigma_v) \quad [4]$$

Kulhawy und Mayne schlagen einen α -Wert von 0.3 [-] vor. Die Korrelation von elektrischen Drucksondierungen mit ausgewerteten Oedometer-Versuchen für Tone und Silte in der Schweiz suggeriert, dass ein Wert von 0.25 den Schweizer Verhältnissen besser angemessen sein dürfte. Geoprofile GmbH legt der Abschätzung des Überkonsolidierungsgrades (OCR) einen α -Wert von 0.25 zugrunde, was im Vergleich zu Kulhawy und Mayne zu einem etwas tieferen Überkonsolidierungsgrad führt.

Für Sande und Kiessande kann der Überkonsolidierungsgrad wie folgt abgeschätzt werden:

$$OCR = \left[\frac{0.192 \cdot (q_t / p_{atm})^{0.22}}{(1 - \sin \varphi') (\sigma'_{vo} / p_{atm})^{0.31}} \right]^{\frac{1}{\sin \varphi' - 0.27}}$$

wobei p_{atm} den atmosphärischen Druck bezeichnet.

Der maximale Vorkonsolidierungsdruck σ'_p ergibt sich aus der Multiplikation mit der effektiven vertikalen Spannung In-Situ:

$$\sigma'_p = \sigma'_{vo} \cdot OCR \quad [5]$$

Wird zudem der effektive innere Reibungswinkel φ' ermittelt, ist gemäss [1] auch der horizontale Erdruchedruck bekannt.

EFFEKTIVE SCHEREIGENSCHAFTEN

Der effektive innere Reibungswinkel φ' ist keine Konstante. Er hängt neben der Zusammensetzung (Mineralogie, Kornform und -rauheit) und der Lagerungsdichte zudem von den Spannungsverhältnissen im Erdreich und dem Abschermodus ab. Es gibt Hinweise dafür, dass Faktoren wie der Sedimentationsmodus oder die In-Situ Spannungsanisotropie weniger von Bedeutung sind.

Die ermittelten Werte der effektiven Reibungswinkel beziehen sich auf das In-Situ Spannungsniveau während der Sondierung. Dies dürfte z.B. für die Berechnung der Stabilität einer Böschung angemessen sein. Im Falle einer signifikanten Erhöhung der Spannungsverhältnisse, wie z.B. bei einer Aufschüttung oder einer Pfahlgründung, muss der effektive Reibungswinkel für Sand und Kiessand den neuen Verhältnissen angepasst werden, was meistens eine Verringerung der Scherparameter bedeutet. Das Verfahren nach Bolton (1986, 1987) stellt dazu eine breit akzeptierte Methode dar. Da der kritische Reibungswinkel φ'_{krit} im Falle von feinkörnigen Böden bereits bei einem geringen Spannungsniveau erreicht wird, ist die Abstufung von effektiven Scherparametern für Ton und Silt weniger üblich.

Das Verhältnis des inneren Reibungswinkels φ' zum Spitzenwiderstand q_c kann auf mehr oder weniger aufwendige Art und Weise ermittelt werden. Einfache Vorgehensweisen stützen sich auf eine konservative Klassifizierung des Bodenverhaltens. Eine aufwendigere empirische Untersuchung berücksichtigt zudem die In-Situ Spannungsverhältnisse σ'_{vo} und σ'_{ho} (siehe Abschnitt „In-Situ Spannungsverhältnisse“). Zudem kann die Lagerungsdichte explizit miteinbezogen werden. Neuere Ansätze verzichten jedoch darauf und berücksichtigen die Lagerungsdichte mit dem Einbezug von q_c nur implizit, da bei der Abschätzung der Lagerungsdichte zusätzliche Unsicherheiten eingebracht werden.

Eine Überprüfung der Ergebnisse von Drucksondierungen in mit Sand gefüllten Kalibrationskammern erlaubt die Abschätzung des effektiven inneren Reibungswinkels φ' für dieses Material (Kulhawy und Mayne, 1990):

$$\varphi' = 17.6 + 11 \cdot \log(q_{t1}) \quad [6]$$

$$q_{t1} = \frac{q_t / p_{atm}}{\sqrt{\sigma'_{vo} / p_{atm}}} \quad [p_{atm} = \text{atmosphärischer Druck} \approx 100 \text{ kPa}] \quad [7]$$

Als Referenzverfahren gelten axial belastete Triaxialprüfungen von isotrop und anisotrop konsolidierten Sandproben (CID und CAD). Die Korrelation enthält im Vergleich zu früheren Gleichungen (z.B. Robertson und Campanella, 1983) eine Korrektur für die Grösse der Kalibrationskammer im Vergleich zur Sondierspitze.

Die Abschätzung der effektiven Scherparameter für fein- und gemischtkörnige Ablagerungen beruht auf einer Form der Tragfähigkeitsformel (Senneset et al., 1988, 1989):

$$q_n = N_m (\sigma'_{vo} + a) \quad [9]$$

wobei:

$$N_m = \frac{N_q - 1}{1 + N_u B_q} \quad [10]$$

$$N_q = \tan^2 \left(45 + \frac{1}{2} \varphi' \right) e^{(\pi - 2\beta) \tan \varphi'} \quad [11]$$

$$N_u = 6 \tan \varphi' (1 - \varphi') \quad [12]$$

β = Plastifizierungswinkel

a = Anziehung

Dazu muss der Plastifizierungswinkel und die Anziehung („attraction“) abgeschätzt werden. Senneset et al. geben Richtwerte für verschiedenen Materialien als Funktion der Konsistenz bzw. der Lagerungsdichte. Die Abschätzung des effektiven inneren Reibungswinkels ist relativ unabhängig von den gewählten Werten für β und a. Die von Geoprofile gewählte Vorgehensweise basiert auf einer vorsichtigen Schätzung der beiden Parameter.

Die Abschätzung der effektiven Kohäsion für feinkörnige Schichten richtet sich nach dem maximalen Vorkonsolidierungsdruck σ'_p (Mesri und El-Ghaffar, 1993):

$$c' = 0.024 \cdot \sigma'_p \quad [13]$$

Für die Bestimmung des maximalen Vorkonsolidierungsdrucks σ'_p siehe den Abschnitt „In-Situ Spannungsverhältnisse“. Die Integration von weiteren geotechnischen Datensätzen für die Ermittlung der effektiven Kohäsion ist empfehlenswert. Ob die Anwendung einer effektiven Kohäsion hinsichtlich der geotechnischen Fragestellung und dem nicht-linearen Verlauf der Einhüllende sinnvoll ist, muss durch einen Geotechnik-Ingenieur beurteilt werden. Für Langzeit-Analysen kann es angebracht sein, die effektive Kohäsion vollständig zu vernachlässigen.

BEZOGENE LAGERUNGSDICHTE

Die Bestimmung des minimalen und des maximalen Porenraums der Sandproben im Labor (e_{min} und e_{max}) bildet die Grundlage für den Begriff der bezogenen Lagerungsdichte. Es ist unwahrscheinlich, dass bei den Laborversuchen tatsächlich der niedrigsten oder der höchsten Wert für den Porenraum e_{max} bzw. e_{min} ermittelt wird. Das In-Situ Raumgewicht kann somit den im Labor erfassten Wert übertreffen.

Übliche Zusammenhänge zwischen q_c und der bezogenen Lagerungsdichte I_D basieren auf Drucksondierungen in einer mit Sand gefüllten Kalibrationskammer. Derartige Versuche sind Teil von allgemeinen geotechnischen Forschungsprojekten und unterliegen einigen Beschränkungen, wie z. B.:

- Abhängigkeit von der Bodenart
- Ungenauigkeiten bei der Bestimmung von I_D im Labor
- begrenzte Bandbreite an Spannungshöhen und K_o Werten
- Vereinfachungen bei der Probenvorbereitung und den Aufzeichnungen zur Bodenspannung

Folgende Schritte dienen zur Bestimmung der Lagerungsdichte (locker, dicht, etc.) vor Ort:

- (a) Schätzung der In-Situ Spannungsverhältnisse σ'_{vo} und σ'_{ho}
- (b) Empirische Korrelation der bezogenen Lagerungsdichte I_D mit q_c , σ'_{vo} und σ'_{ho}

Die Abschätzung der In-Situ Spannungsverhältnisse wurde oben erläutert. Sind zudem allgemeine Angaben zur Kompressibilität des Sands vorhanden, sollten diese in die Beurteilung der bezogenen Lagerungsdichte miteinbezogen werden. Die Kompressibilität eines Sands nimmt tendenziell zu mit zunehmender Uniformität der Korngrösseverteilung, mit der Eckigkeit der einzelnen Körner und mit zunehmendem Feinanteil.

Die Abschätzung der bezogenen Lagerungsdichte richtet sich nach Kulhawy und Mayne (1990):

$$I_D^2 = \frac{q_{t1}}{305 Q_c \cdot Q_{OCR} \cdot Q_A} \tag{14}$$

wobei q_{t1} sich nach [7] richtet und die Faktoren Q_c , Q_{OCR} und Q_A wie folgt berechnet werden:

- Q_c = Kompressibilitätsfaktor
 $0.91 < Q_c < 1.09$ (Tiefer Wert für geringe Kompressibilität)
- Q_{OCR} = Überkonsolidierungsfaktor
 $OCR^{0.2}$
- Q_A = Faktor, welche die Zunahme des Spitzenwiderstands mit der Zeit berücksichtigt
 $1.2 + 0.05 \cdot \log(t/100)$ (t in Jahren)
 ≈ 1.3 für Sande, welche nach der letzten Eiszeit abgelagert wurden

ZUSAMMENDRÜCKUNGSMODUL BEI ERSTBELASTUNG

Zusammenhänge zwischen den Resultaten von Drucksondierungen und dem eindimensionalen Zusammendrückungsmodul bei Erstbelastung M_{E1} sind indikativ. Für eine genaue Bestimmung des Last-Deformationsverhaltens sind zusätzliche Daten (z. B. Plattendilatometer, Oedometerprüfung) unumgänglich.

Normalerweise wird die Elastizitätstheorie für die Analyse des Verformungsverhaltens von drainierten Böden angewandt. Lunne und Christophersen (1983) schlagen aufgrund einer Überprüfung der Ergebnisse von Drucksondierungen in mit Sand gefüllten Kalibrationskammern die folgende Beziehung zur Abschätzung des Zusammendrückungsmoduls bei Erstbelastung vor:

$$M_{E1} = \begin{cases} 4 \cdot q_c & q_c < 10 \text{ MPa} \\ 2 \cdot q_c + 20 & 10 < q_c < 50 \text{ MPa} \\ 120 & q_c > 50 \text{ MPa} \end{cases} \quad [15]$$

Die Abschätzung des eindimensionalen Zusammendrückungsmoduls bei Erstbelastung für feinkörnige Schichten richtet sich meistens nach:

$$M_{E1} = \alpha_c \cdot q_c \quad [16]$$

Oder, korrigiert für den transienten Porenwasserdruck und den Bau der Messsonde:

$$M_{E1} = \alpha_n \cdot q_n \quad [17]$$

Dabei stellt α einen Korrelationskoeffizient dar, welcher unter anderem von der Plastizität, Korngrösse, Mineralogie und Spannungsgeschichte abhängt. Mitchell und Gardner (1975) geben Richtwerte für α_c , welche sich je nach Zusammensetzung, Plastizität und Scherfestigkeit zwischen 1 und 8 bewegen. Neuere Studien aufgrund des netto Spitzenwiderstands q_n empfehlen einen Wert für α_n zwischen 4 und 8 (Senneset et al, 1989). Die von Geoprofile gewählte Methode betrachtet einen pauschalen Wert für α_n von 5 als praktikabel.

Der hier abgeleitete Zusammendrückungsmodul ist einen oedometrischen Modul, welche sich auf die effektiven in-situ Spannungsverhältnisse in einer bestimmten Tiefe bezieht. Bei der Bestimmung eines Zusammendrückungsmoduls beim Oedometerversuch gilt, dass die vertikalen Dehnungen sehr gross sind und meistens zwischen 1 und 10 Prozent variieren. Solche Dehnungen sind unter einem Bauwerk kaum realistisch. Es liegt in der Verantwortung des Anwenders, die effektiv auftretenden Dehnungen bei der Wahl eines geeigneten M_E -Wertes gebührend zu berücksichtigen. Dies kann durchaus zu einem höheren Wert führen. Die Verwendung eines konstanten, oedometrischen Zusammendrückungsmoduls führt bei Setzungsberechnungen in der Regel zu einer Überschätzung der zu erwartenden Setzungen.

Zur Berücksichtigung einer grösseren Steifigkeit des Baugrundes bei geringeren Dehnungen sollte vorzugsweise auf komplexeren Materialmodellen zurückgegriffen werden (z.B. das hardening soil small strain Modell (HSS)).

Die Abschätzung der maximalen Vorkonsolidierungsspannung σ'_p richtet sich nach [5].

UNDRAINIERTER SCHERFESTIGKEIT

Die undrainierte Scherfestigkeit s_u ist keine Konstante. Sie hängt von Faktoren wie dem Abschermodus und der -richtung, der Spannungshistorie und -anisotropie sowie der Abschergeschwindigkeit und der Temperatur ab.

Es gibt verschiedene theoretische und empirische Vorgehensweisen, um den Spitzenwiderstand q_c mit der undrainierten Scherfestigkeit s_u zu korrelieren. Theoretische Ansätze stützen sich auf die Tragfähigkeitstheorie oder die Bodenmechanik des kritischen effektiven Zustands (critical state soil mechanics, CSSM). So kann der einfache Abschermodus wie folgt beschrieben werden (Wroth 1984):

$$s_u / \sigma'_{vo\ DDS} = \frac{1}{2} \sin \varphi' \cdot OCR^\Lambda \tag{18}$$

wobei $\Lambda = 1 - C_s/C_c$ das plastische volumetrische Dehnungspotential, und C_c und C_s den Zusammendrückungsindex bei Erstbelastung bzw. bei Entlastung bezeichnen. Für Tone mit einer geringen bis mittleren Sensitivität liegt Λ meistens zwischen 0.7 und 0.8, für sensitive Tone eher um 0.9. Die bekannte Beziehung (Jamiolkowski et al., 1985; Ladd, 1991; Ladd and DeGroot 2003):

$$s_u / \sigma'_{vo\ DDS} = 0.22 \cdot OCR^{0.8} \tag{19}$$

welche im Erdbaulabor des MIT entwickelt wurde, ist dabei ein Subsatz von [18] mit $\varphi' = 26^\circ$ und $\Lambda = 0.8$. Die von Geoprofile gewählte Methode nutzt den aus den Sondierdaten abgeleiteten Wert für den effektiven inneren Reibungswinkel φ' und einem Λ von 0.8.

Empirische Ansätze beruhen meistens auf einer direkten Korrelation des netto Spitzenwiderstands q_n mit der undrainierten Scherfestigkeit (Rad und Lunne, 1988):

$$s_{u\ TX} = \frac{q_t - \sigma_{vo}}{N_{kt}} = \frac{q_n}{N_{kt}} \tag{20}$$

Der Faktor N_{kt} liegt üblicherweise zwischen 15 und 25, hängt aber unter anderem von der Plastizität und

dem Überkonsolidierungsgrad ab. Das Referenzverfahren für die oben genannte Beziehung ist der konsolidierte, undrainierte, triaxiale Zusammendrückungstest (CU). Die von Geoprofile gewählte Vorgehensweise bezieht sich auf eine undrainierte Scherfestigkeit mit einem Faktor N_{kt} von 18, welche aber nur zur Kontrolle von der mit [18] abgeleiteten undrainierte Scherfestigkeit (und damit indirekt auch von φ') herangezogen wird.

Die Sensitivität eines Tons ist das Verhältnis zwischen der maximalen und der gestörten undrainierten Scherfestigkeit:

$$S_t = s_{u,max} / s_{u,rest} \quad [21]$$

Da die gemessene lokale Mantelreibung f_s in Ton primär von der gestörten undrainierten Scherfestigkeit abhängt, kann die Sensitivität wie folgt abgeleitet werden (Rad und Lunne, 1986):

$$S_t = \frac{N_s}{R_f} \quad [22]$$

wobei R_f das Reibungsverhältnis bezeichnet und N_s üblicherweise zwischen 6 und 9 liegt. Bei der von Geoprofile gewählten Vorgehensweise liegt der Abschätzung der Sensitivität ein Wert für N_s von 7.5 zugrunde.

LITERATURANGABEN

Bolton, M.D. (1986), "The Strength and Dilatancy of Sands", *Geotechnique*, Vol. 36, No. 1, pp. 65-78.

Bolton, M.D. (1987), "The Strength and Dilatancy of Sands, Discussion", *Geotechnique*, Vol. 37, No. 2, pp. 225-226.

Kulhawy, F.H. und P.W. Mayne, (1990), *Manual on Estimating Soil Properties for Foundation Design*, Report EPRI EL-6800, Electric Power Research Institute, Palo Alto, California, 306 pp.

Ladd, C.C., Foott, R.R., Ishihara, K., Schlosser, F. und Poulos, H.G. (1977), "Stress-Deformation and Strength Characteristics", *Proc. 9th Int. Conf. on Soil Mechanics and Foundation Engineering*, Tokyo, Vol. 2, pp. 421-494.

Lunne, T., Powell, J.J.M. und Robertson, P.K. (1995), "Use of Piezocone Tests in Non-Textbook Materials", *Proc. Int. Conf. on Advances in Site Investigation Practice*, Institution of Civil Engineers, London, pp. 438-451.

Lunne, T und Christophersen, H.P. (1983), "Interpretation of cone Penetrometer data for offshore Sands", *Proc. of the offshore technology conference*, Richardson, Texas, paper nr. 4464

Lunne, T., Robertson, P.K. und Powell, J.J.M. (1997), "Cone Penetration Testing in Geotechnical Practice", Blackie Academic & Professional, London, p. 312.

Mayne, P.W. und Kulhawy, F.H. (1982), "K_o - OCR Relationships in Soil", *ASCE Jnl. of Geotechnical Engineering*, Vol. 108, No. GT6, pp. 851-872.

Mesri, G. und Abdel-Ghaffar, M.E.M. (1993). "Cohesion Intercept in Effective Stress Stability Analysis." *Journal of Geotechnical Engineering*, Vol. 119, No. 8, pp. 1229-1249.

Mitchell, J.K. und Gardner, W.S. (1975), "In-Situ Measurements of Volume Change Characteristics", *ASCE Speciality Conference on In-Situ Measurement of Soil Properties*, North Carolina, Vol. II, pp. 279-345.

Rad, N.S. und Lunne, T. (1988), "Direct Correlations between Piezocone Test Results and Undrained Shear Strength of Clay", *Penetration Testing 1988, Proc. First Int. Symp. On Penetration Testing, ISOPT-1*, De Ruiter (ed.), Vol. 2, pp. 911-917.

Robertson, P.K. (1990), "Soil Classification using the Cone Penetration Test", *Can. Geotech. Jnl.*, Vol. 27, No. 1, pp. 151-158.

Robertson, P.K., Campanella, R.G., Gillespie, D. und Grieg, J. (1986), "Use of Piezometer Cone Data", Proc. In-Situ '86, ASCE Specialty Conf., Blacksburg, VA, pp. 1263-1280.

Senneset, K., R. Sandven, T. Lunne, T. By, und T. Amundsen, (1988), "Piezocone Tests in Silty Soils," Penetration Testing, Vol. 2, Balkema, Rotterdam, The Netherlands, pp. 955–974.

Senneset, K., R. Sandven, und N. Janbu, (1989), "Evaluation of Soil Parameters from Piezocone Tests," Transportation Research Record 1235, Transportation Research Board, National Research Council, Washington, D.C, pp. 24–37.

Wroth, C.P. (1984), "The Interpretation of In-Situ Soil Tests", Geotechnique, Vol. 34, No. 4, pp. 449-489.